# ОДНА ГИПОТЕЗА О ВЫПУКЛЫХ МНОГОГРАННИКАХ В. А. Залгаллер

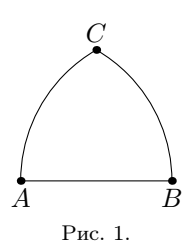
**Аннотация.** Выделен класс пирамид специального вида и выдвинута гипотеза, что среди замкнутых выпуклых многогранников с четным числом вершин и единичным геодезическим диаметром наибольшую площадь поверхности имеют именно эти пирамиды. Описана их геометрия. Подтверждение этой гипотезы дало бы доказательство проблемы А. Д. Александрова «о дважды покрытом круге». Через связь с многоугольниками Рело доказано, что на плоскости выпуклый n-угольник единичного диаметра при нечетных n имеет наибольщую площадь, когда он правильный. При четных n это не так.

**Ключевые слова:** геодезический диаметр, изопериметрическая задача, выпуклый многоугольник, выпуклый многогранник.

Дорогому Юрию Григорьевичу Решетняку к его 80-летию

# § 1. Задача на плоскости

- **1.1. Вопрос.** Какую форму следует придать выпуклому n-угольнику, чтобы при диаметре 1 он имел максимальную площадь? Диаметр фигуры это наибольшее расстояние между парами ее точек.
- **1.2. Простейшие факты.** 1. Диаметр выпуклого многоугольника равен наибольшей из длин его сторон и диагоналей.
- 2. При n=3 максимальную площадь имеет равносторонний треугольник со сторонами 1.
- 3. При n=4 максимальный (по площади) четырехугольник не единствен. Это не только квадрат с диагоналями 1, но и выпуклая оболочка различно расположенных пересекающихся под прямым углом единичных отрезков, если у этой оболочки не появилась сторона больше 1.
- 4. При каждом фиксированном  $n_0 \geq 3$  по принципу компактности Бляшке [1, § 2] в классе выпуклых многоугольников единичного диаметра с числом вершин  $\leq n_0$  существует хотя бы один максимальной площади. Обозначим эту площадь через  $\sigma(n_0)$ .
- 5. Функция  $\sigma(n_0)$  строго возрастает по  $n_0$ . Действительно, допущению  $\sigma(n_0+1) \leq \sigma(n_0)$  противоречит возможность взять  $n_0$ -угольник площади  $\sigma(n_0)$  и слегка «выдвинуть» середину одной из его сторон, не нарушая единичности диаметра.
- 6. У правильного пятиугольника с диагоналями 1 площадь  $S_5 \simeq 0.657164$ . У максимального n-угольника при любом  $n \geq 5$  всегда  $\sigma(n) \geq S_5$ . Поэтому при  $n \geq 5$  у максимального n-угольника диаметра 1 любая сторона короче 1.



Действительно, если бы у него была сторона AB=1, он умещался бы в фигуре рис. 1, ограниченной стороной AB и круговыми дугами  $AC,\,BC$  радиуса 1 с центрами соответственно в B и A. Но для площади  $\Omega$  такой фигуры имеем

$$\Omega = \frac{\pi}{3} - \frac{\sqrt{3}}{4} \simeq 0.614185 < S_5.$$

- **1.3.** Под максимальным n-угольником понимаем далее выпуклый n-угольник наибольшей площади при единичном диаметре. Поскольку нас интересуют только  $n \geq 5$ , единичность диаметра проявляется в существовании диагоналей длины 1. Стороны и остальные диагонали короче 1.
- **1.4. Необходимый признак максимального** *n***-угольника.** Небольшой сдвиг любой вершины при неподвижности остальных вершин, увеличивающий площадь, влечет появление диагонали > 1.

Выполнение этого признака для каждой из вершин лишь необходимо, но не достаточно для максимальности n-угольника.

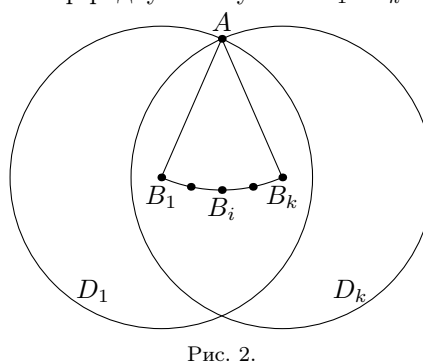
Многоугольник, удовлетворяющий необходимому признаку 1.4, будем называть *допустимым*.

- **1.5.** Классификация вершин допустимого многоугольника. 1. У допустимого многоугольника не может быть вершины, из которой не выходит ни одной диагонали длины 1.
- 2. Если из вершины T исходит более одной диагонали длины 1, назовем T вершиной первого рода. Если из T исходит единственная диагональ TT' длины 1, назовем T вершиной второго рода.
- 3. В последнем случае диагональ TT' обязательно ортогональна к той диагонали, которая соединяет две соседние с T (справа и слева) вершины U, V многоугольника. Иначе малым поворотом диагонали TT' вокруг точки T' можно сместить вершину T, увеличив площадь и сохранив единичность диаметра.
- 4. Исключим из числа претендентов на максимальность те допустимые многоугольники, у которых существует единичная диагональ TT', оба конца которой лежат в вершинах второго рода. Такая ситуация возможна при  $n \geq 6$ .

В этом случае диагональ TT' ортогональна не только диагонали UV, соединяющей вершины, смежные с T, но и диагонали U'V', соединяющей вершины, смежные с T'. Если при этом длина U'V' больше длины UV, то малый продольный сдвиг этой диагонали в направлении от T к T' увеличит площадь, не нарушая единичности диаметра. Аналогичное будет при противоположном неравенстве для длин. Если UV = U'V', то диагональ TT' можно подвергать параллельным переносам, сохраняя площадь и диаметр многоугольника. Этот перенос можно продолжить до положения, в котором у выпуклой оболочки исходного n-угольника и смещенных вершин T и T' окажется всего n-1 вершин. Значит, исходная площадь n-угольника не больше, чем  $\sigma(n-1)$ , поэтому заведомо не максимальна для n-угольников.

- 5. Мы исключили из класса «допустимых» все n-угольники, у которых была хоть одна диагональ длины 1 с обеими вершинами второго рода. В частности, такими являются все правильные n-угольники при четных n. Они не могут быть максимальными!
- 6. У сохраненных допустимых n-угольников для каждой вершины T второго рода противоположный конец T' единичной диагонали TT' первого рода.

1.6. Секторы радиуса 1 с центрами в вершинах первого рода. Пусть M — допустимый n-угольник и A — его вершина первого рода. Из нее исходят n-3 веерно упорядоченных диагоналей, среди которых  $k\geq 2$  длиной 1. Пусть  $AB_1$  и  $AB_k$  крайние среди единичных диагоналей (рис. 2). Имеем  $\angle B_1AB_k\leq 60^\circ$ , поскольку расстояние  $B_1B_k$  не больше 1. Свяжем с вершиной A сектор радиуса 1 с углом  $B_1AB_k$ .



На дуге  $B_1B_k$  в случае k>2 могут располагаться еще несколько вершин  $B_2,\ldots,B_{k-1}$  многоугольника M. Но каждая из них будет вершиной второго рода. Действительно, чтобы такая вершина  $B_i \quad (2 \leq i \leq k-1)$  была первого рода, из нее кроме  $B_iA$  должна идти еще хотя бы одна единичная диагональ  $B_iT.$  Но тогда вершина T оказалась бы удаленной более чем на 1 от одной из вершин  $B_1$  и  $B_k$  (T вышла бы за пределы пересечения единичных

кругов  $D_1$ ,  $D_k$  с центрами  $B_1$  и  $B_k$ , см. рис. 2).

Наконец, мы вправе считать, что при наличии точек  $B_2, \ldots, B_{k-1}$  выполняются равенства

$$B_1B_2 = B_2B_3 = \cdots = B_{k-1}B_k,$$

иначе площадь n-угольника M можно увеличить, создав эти равенства.

Сами вершины  $B_1$  и  $B_k$  обязательно первого рода. Действительно, допустим, например, что вершина  $B_k$  второго рода. На контуре n-угольника M за ней следует некоторая вершина X. Для диагонали  $B_{k-1}X$  диагональ  $AB_k$  должна быть срединным перпендикуляром. Тогда AX = 1 и  $AB_k$  не была бы крайней среди диагоналей длины 1, выходящих из вершины A. Для вершин первого рода  $A_1, \ldots, A_m$  углы связанных с ними секторов обозначим через  $A_1, \ldots, A_m$ 

Напомним [2], что шириной плоской выпуклой фигуры в направлении и называют расстояние между парой параллельных опорных прямых этой фигуры, ортогональных u. Если у фигуры F ширина во всех направлениях одинаковая, то F называют фигурой постоянной ширины. Именно такое множество  $\Phi$  мы получили, дополнив исходный n-угольник до выпуклой оболочки всех секторов, прикрепленных к вершинам первого рода этого n-угольника. Согласно известной теореме Барбье периметр любой фигуры постоянной ширины 1 равен  $\pi$ . Поэтому  $\alpha_1 + \ldots + \alpha_m = \pi$ , т. е.  $180^\circ$ .

**1.7.** Замечание. Построенное множество  $\Phi$  относится к специальному подклассу фигур постоянной ширины — многоугольникам Рело. Это «многоугольники» постоянной ширины с конечным числом «сторон», которыми служат дуги окружностей радиуса, равного ширине фигуры. При этом все стыки дуг не гладкие, а являются выступающими углами.

Как известно [3], у любого многоугольника Рело число вершин нечетно, так что у каждого допустимого n-угольника нашей задачи число m вершин первого рода нечетно.

**1.8. Теорема.** При нечетных n среди выпуклых n-угольников диаметра 1 наибольшую площадь имеет только правильный n-угольник.

1.9. Некоторые теоремы о многоугольниках Рело. Лебег доказал, что среди фигур постоянной ширины 1 наименьшую площадь имеет треугольник Рело. Бляшке [4] с помощью четырехшарнирного метода показал, что треугольник Рело имеет наименьшую площадь среди всех многоугольников Рело той же ширины, откуда вывел снова теорему Лебега.

Четырехшарнирный метод впервые использовал Штейнер (см.  $[1, \S 1]$ ), доказывая, что замкнутая кривая фиксированной длины на плоскости охватывает наибольшую площадь, если она окружность.

Файери и Салли первыми доказали, что m-угольник Рело ширины 1 имеет наибольшую площадь, если он правильный. Купиц и Мартини [5] доказали эту теорему с использованием четырехшарнирного метода. Ниже в  $\S 3$  мы используем четырехшарнирный метод при поиске шестиугольника максимальной площади при единичном диаметре.

**1.10.** Доказательство теоремы **1.8.** Пусть M — любой из допустимых n-угольников, где  $n \geq 5$  нечетно,  $M_0$  — правильный n-угольник тоже диаметра 1. Обозначим их площади через  $\alpha(M)$  и  $\alpha(M_0)$ . Приложим к каждой из их n сторон сегмент единичной окружности с хордой, равной длине этой стороны. Общую площадь приложенных сегментов обозначим через  $\beta(M)$  и  $\beta(M_0)$ . По теореме Файери — Салли

$$\alpha(M) + \beta(M) \le \alpha(M_0) + \beta(M_0). \tag{*}$$

Докажем, что

$$\beta(M) \ge \beta(M_0) \tag{**}$$

с равенством только в случае  $M=M_0$ . Из (\*) и (\*\*) следует справедливость теоремы 1.8.

Секторы, прикрепленные к вершинам первого рода, имеют и в M, и в  $M_0$  сумму углов  $180^\circ$ . Эти секторы в том и другом случаях можно уложить на плоскость (с общей вершиной) так, что они заполнят полукруги D,  $D_0$  радиусов 1. При этом хорды, по которым прикладывались сегменты, составят соответственно n-звенные ломаные L,  $L_0$ , вписанные в дуговые границы C,  $C_0$  полукругов (рис. 3).

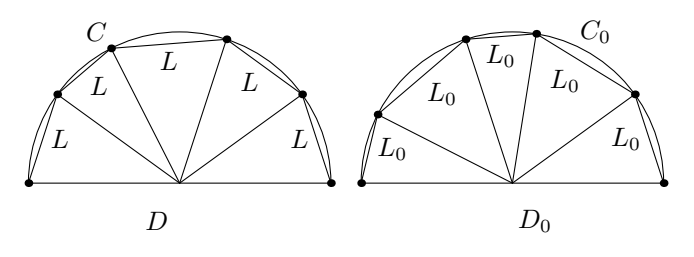


Рис. 3.

Площадь между L и C равна  $\beta(M)$ , а площадь между  $L_0$  и  $C_0$  равна  $\beta(M_0)$ . Выпуклый многоугольник между ломаной L и отрезком AB обозначим через N. Аналогичный выпуклый многоугольник между ломаной  $L_0$  и отрезком  $A_0B_0$  обозначим через  $N_0$ . Элементарно проверяется, что площадь N не превосходит площади  $N_0$  с равенством только в случае  $N=N_0$ , что требует  $M=M_0$ .  $\square$ 

# § 2. Задача в пространстве. Основная гипотеза

**2.1.** Определения. Для замкнутой выпуклой поверхности  $F \subset \mathbb{R}^3$  зеодезическим расстоянием  $\rho(x,y)$  между точками  $x,y \in F$  принято называть точную нижнюю границу длин спрямляемых кривых, соединяющих точки x и y и идущих по поверхности F. Всегда существует хотя бы одна кривая с длиной, равной  $\rho(x,y)$ . Такие кривые называют кратчайшими на поверхности F.

 $\Gamma$ еодезическим (или внутренним) диаметром поверхности F называют наибольшее значение  $\rho(x,y)$  для всевозможных пар  $x,y\in F$ . Пары, для которых  $\rho(x,y)$  равно геодезическому диаметру, называем *полярными* на F.

 $\mathit{Линиями}$  разреза от точки A на поверхности выпуклого многогранника называют множество всех тех точек, в которые из точки A идут на этой поверхности более одной кратчайшей.

- **2.2.** До сих пор не предложено ни одного подхода к проблеме А. Д. Александрова (см. [6, проблема № 61]), высказавшего в 1950-е годы гипотезу, что среди замкнутых выпуклых поверхностей с геодезическим диаметром 1 наибольшую площадь имеет дважды покрытый круг (и только он).
- **2.3.** Пирамиды M(n). Обозначим через M(n) выпуклый многогранник в  $\mathbb{R}^3$ , имеющий форму пирамиды, основанием которой служит правильный (2n+1)-угольник  $A_1A_2\dots A_{2n+1}$ , вписанный в окружность радиуса x(n), а вершина P пирамиды находится над центром O основания на высоте y(n), причем значения x(n) и y(n) таковы, что  $0.46 \le x(n) \le 0.5$ , а геодезический диаметр поверхности  $\partial M(n)$  равен 1, при этом полярными парами точек на  $\partial M(n)$  служат только пара P и O и каждая пара  $A_i$ ,  $B_i$ , где  $A_i$  любая из вершин основания, а  $B_i$  точка, наиболее удаленная по поверхности  $\partial M(n)$  от  $A_i$ .

Такая точка  $B_i$  единственна. Она расположена на линии разреза от  $A_i$  за вершиной P, иными словами, на той апофеме PU пирамиды M(n), которая соединяет вершину P с серединой U стороны  $A_{i+n}A_{i+n+1}$ , противоположной вершине  $A_i$  (рис. 4).

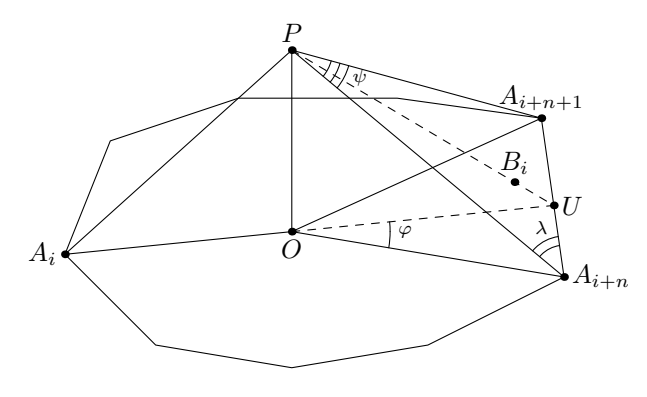


Рис. 4.

Как мы убедимся ниже (см. формулу (4)),

$$PB_i = x(n).$$

Кроме того, мы убедимся (см. лемму 2.7), что при  $n\to\infty$  будет  $y(n)\to 0$ , т. е. высота пирамид M(n) при  $n\to\infty$  стремится к нулю. Они «сплющиваются» к дважды покрытому кругу.

- **2.4.** Основная гипотеза настоящей статьи. При каждом  $n=1,2,\ldots$  в классе замкнутых выпуклых многогранников с единичным геодезическим диаметром и числом вершин 2n+2 наибольшую площадь поверхности имеет пирамида M(n).
- **2.5.** ЗАМЕЧАНИЯ. 1. Цель настоящей статьи привлечь внимание молодых геометров к гипотезе А. Д. Александрова о дважды покрытом круге.
- 2. Владея техникой аппроксимации внутренней геометрии общих замкнутых выпуклых поверхностей аналитическими и многогранными выпуклыми поверхностями, несложно доказать следующее утверждение. Если верна гипотеза 2.4, то верна и гипотеза Александрова. Действительно, пусть  $\Psi$  последовательность замкнутых выпуклых поверхностей с единичными геодезическими диаметрами, максимизирующая площадь. Если они «сплющиваются», то их предел дважды покрытый круг. Если не сплющиваются, то по последовательности  $\Psi$  путем аппроксимаций можно построить последовательность выпуклых многогранных поверхностей с геодезическими диаметрами 1 и четными числами вершин, которая тоже будет максимизировать площадь к тому же значению. Заменив эти многогранники пирамидами M(n) с соответствующим числом вершин, получим сплющивающуюся последовательность.

Нам представляется, что гипотеза 2.4 доступнее для доказательства или опровержения, чем общая гипотеза Александрова.

- 3. Было бы интересно опровергнуть гипотезу 2.4, что, конечно, не опровергнет гипотезу Александрова. Гипотеза 2.4 доказана [7] только при n=1. Интересно доказать ее хотя бы для n=2,3.
- 4. В [7] опрометчиво сказано, что, возможно, среди n-вершинных многогранников с геодезическим диаметром 1 при  $n \geq 5$  максимизация площади потребует полного вырождения в дважды покрытый многоугольник. Настоящее замечание исправляет эту ошибку.
- **2.6.** О геометрии пирамид M(n). 1. На рис. 4 изображена пирамида M(n). Имеем

$$\varphi = \angle UOA_{i+n} = \frac{\pi}{2n+1}.\tag{1}$$

Требование PU + UO = 1 выражается равенством

$$\sqrt{y^2 + x^2 \cos^2 \varphi} + x \cos \varphi = 1,$$

откуда

$$y = \sqrt{1 - 2x\cos\varphi}, \quad x \ge 0.46. \tag{2}$$

2. Поместим центр сферы S в точку  $A_{i+n}$ . Точки O', P',  $A'_{i+n+1}$  пересечения сферы S с лучами  $A_{i+n}O'$ ,  $A_{i+n}P'$ ,  $A_{i+n}A'_{i+n+1}$  образуют на S сферический треугольник с прямым углом при вершине O' и известными угловыми длинами катетов

$$P'O'=\operatorname{arctg}rac{y}{x},\quad A'_{i+n+1}O'=rac{\pi}{2}-arphi.$$

Отсюда находим

$$\cos \lambda = \cos P'O' \cdot \cos A'_{i+n+1}O' = \frac{x \sin \varphi}{\sqrt{1 - 2x \cos \varphi + x^2}} = \frac{x \sin \varphi}{\sqrt{x^2 + y^2}},$$

$$\psi = \pi - 2\lambda = \pi - 2\arccos \frac{x \sin \varphi}{\sqrt{1 - 2x \cos \varphi + x^2}}.$$
(3)

3. Точка  $B_i$ , наиболее удаленная по поверхности  $\partial M(n)$  от вершины  $A_i$ , лежит на апофеме PU и отличается тем, что она соединяется на  $\partial M(n)$  с  $A_i$  тремя кратчайшими.

Одна из этих кратчайших  $A_iB_i$  проходит участок  $A_iU=x+x\cos\varphi$  по основанию пирамиды, а затем еще небольшой участок  $UB_i=1-x-x\cos\varphi$  «вверх» по апофеме PU. Это намечает желаемое положение точки  $B_i$  на апофеме PU:

$$PB_{i} = PU - UB_{i} = \sqrt{y^{2} + x^{2} \cos^{2} \varphi} + x + x \cos \varphi - 1$$

$$= \sqrt{1 - 2x \cos \varphi + x^{2} \cos^{2} \varphi} - x + x \cos \varphi - 1 = x. \quad (4)$$

Две другие геодезические  $A_iB_i$  идут по боковой поверхности пирамиды, симметрично обходя вершину P справа и слева. Второе требование к форме пирамиды M(n) состоит в том, чтобы эти две геодезические тоже были кратчайшими длины 1.

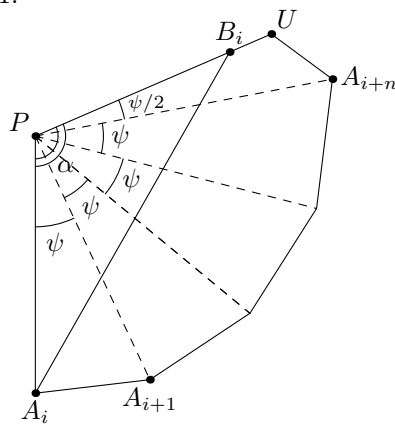


Рис. 5.

Разрежем боковую поверхность пирамиды M(n) по линии  $A_i PU$  на две части. На рис. 5 изображена развертка на плоскость одной из этих половин. Обозначенный на рис. 5 угол равен

$$\alpha = (n+1/2)\psi. \tag{5}$$

Зная  $\alpha$ , из треугольника  $A_iPB_i$  находим длину геодезической  $A_iB_i$ , идущей по боковой поверхности пирамиды. Выбор x(n) подчиняется требованию, чтобы эта длина оказалась равна 1.

4. Пирамида M(1) — один из тетраэдров. В [7] доказано, что среди тет-

раздров с геодезическим диаметром 1 наибольшую площадь поверхности имеет правильный тетраздр с длиной ребер  $\sqrt{3}/2$ . Убедимся, что это и есть M(1).

Полагаем  $n=1,\,x=1/2.$  По формулам (1)–(5) находим

$$\varphi = \pi/3, \quad y = 1/\sqrt{2}, \quad \psi = \pi/3, \quad PB_i = 1/2, \quad \alpha = \pi/2, \quad A_i P = \sqrt{3}/2.$$

При этих значениях из рис. 5 следует точное равенство  $A_iB_i=1$ .

5. Вычисление  $x(n),\ y(n)$  при фиксированном n можно вести последовательными приближениями. Это доказывает существование и единственность многогранников M(n) при каждом n. Но вычисление при больших n потребует растущей точности счета.

Таблица 1

n	x(n)	y(n)
2	0.469659042	0.489975210
3	0.467085075	0.397921823
4	0.468942261	0.344495045
5	0.471517849	0.308486424
6	0.473997688	0.282049014
7	0.476204300	0.261541226
8	0.478125381	0.245012701
9	0.479791260	0.231311338
10	0.481239510	0.219706796

6. В табл. 1 приведены приближенные значения x(n) и y(n) для  $n=2,\dots,10$ . Эти значения получены по следующей программе.

Фиксируем число n. В качестве нижней и верхней границ для x берем значения X1=0.46 и X2=0.5. Цикл счета полагает x равным полусумме нижней и верхней границ. При таком x по формулам (1)–(5) находятся  $\varphi,y,\psi,\alpha,A_iP$ .

Для треугольника  $A_iPB_i$  (рис. 5) вычисляем  $A_iB_i$ . Если  $A_iB_i>1$ , то верхняя граница заменяется на x, а если  $A_iB_i<1$ , то нижняя

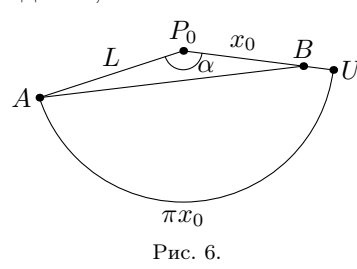
граница заменяется на x. Цикл повторяется до тех пор, пока не окажется  $X2-X1<10^{-7}$ .

**Лемма.** При  $n \to \infty$  имеет место сходимость  $y(n) \to 0$ . Иными словами при  $n \to \infty$  пирамиды M(n) сплющиваются, а их поверхности сходятся к дважды покрытому кругу.

Доказательство. Допустим, что  $\varlimsup_{n\to\infty}y(n)\neq 0$ . Тогда существует последовательность  $n_i$ , для которой  $\lim_{i\to\infty}y(n_i)=y_0>0$  . Мы вправе считать, что в ней уже выбрана подпоследовательность, для которой значения  $x(n_i)$  тоже имеют предел  $x_0$ , где  $0.46 \le x_0 \le 0.5$ . Тогда пирамиды  $M(n_i)$  сходятся к прямому круговому конусу C с высотой  $y_0$  и радиусом основния  $x_0$ .

Подвергнем каждую пирамиду  $M(n_i)$  равномерному «вертикальному» растяжению (или сжатию) с коэффициентом  $y_0/y(n_i)$ , после чего совместим их высоты с высотой  $OP_0$  конуса C . Затем отобразим взаимно однозначно точки боковых поверхностей  $\frac{y_0}{y(n_i)}M(n_i)$  на точки боковой поверхности конуса C посредством проектирования от общей оси  $OP_0$ . Точки многоугольных оснований пирамид  $M(n_i)$  отобразим равномерным растяжением (или сжатием) каждого «радиуса» многоугольника на соответствующий радиус основания конуса C. При таком отображении внутренняя метрика на поверхностях  $\partial M(n_i)$  сходится к внутренней метрике на поверхности  $\partial C$ .

Пусть A и U — диаметрально противоположные точки на границе основания конуса  ${\cal C}$  . Из сходимости внутренних метрик следует, что на образующей  $P_0U$  конуса C на растоянии  $P_0B=x_0$  от P должна лежать точка B, соединяющаяся с точкой A на боковой поверхности двумя кратчайшими длины 1. Убедимся, что это невозможно при  $y_0 > 0$ .



Выделим боковую поверхность конуса C. Разрежем ее по линии  $AP_0U$  и одну из двух полученных частей развернем на плоскость (рис. 6). При указанных на рис. 6 обозначениях имеем

$$lpha=rac{\pi x_0}{L},\quad L=\sqrt{x_0^2+y_0^2}.$$

Но по формуле (2)  $y(n)=\sqrt{1-2x(n)\cos\varphi}$ . Поскольку  $\varphi=\pi/(2n+1)\to 0$  при  $n\to\infty$ , то  $y_0=\sqrt{1-2x_0}$ . Поэтому длина Lобразующей  $AP_0$  конуса равна  $L=\sqrt{x_0^2+y_0^2}=1-x_0$  и в треугольнике  $AP_0B$ для длины кратчайшей имеем  $AB < AP_0 + P_0B = 1 - x_0 + x_0 = 1$ .  $\square$ 

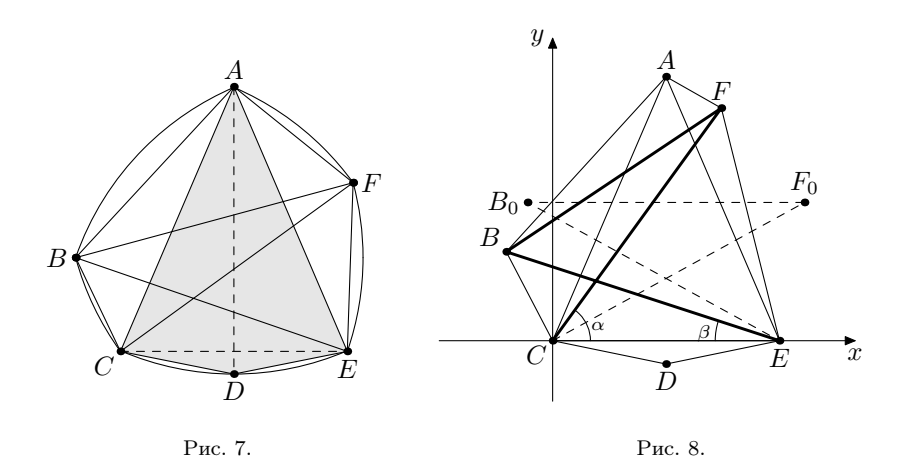
В действительности  $y(n) \to 0, x(n) \to 0.5,$  поверхности  $\partial M(n)$  сходятся к дважды покрытому диску радиуса 0.5.

### § 3. Снова на плоскости

Теорема 1.8 только при *нечетных n* ответила на вопрос о форме *n*-угольника максимальной площади при диаметре 1. При четных п вопрос много сложнее. Мы ограничимся примером n = 6.

У максимального шестиугольника нечетное число вершин первого рода либо m = 5, либо m = 3.

**3.1.** Начнем со случая m=5. Пусть у шестиугольника ABCDEF пять вершин A, B, C, E, F первого рода. Все попарно соединяющие их диагонали имеют длину 1. Дуги АВ, ВС, СЕ, ЕГ, ГА радиуса 1 ограничивают пятиугольник Рело ширины 1. Вершина D, единственная вершина второго рода, расположена в середине дуги CE (рис. 7).



Площадь шестиугольника слагается из площади выделенного на рис. 7 четырехугольника ACDE и площади двух треугольников: CAB и EFA.

**3.2.** Зафиксируем неподвижно как твердую пластину четырехугольник ACDE.

Диагонали CF, FB, BE соединим как стержни длины 1 друг с другом и с четырехугольником ACDE четырьмя шарнирами, расположенными в точках C, F, B, E (рис. 8). Эти шарниры позволяют изменять положение диагонали BF.

Выберем декартовы координаты с началом в точке C и осью x вдоль CE (см. рис. 8).

Обозначим

$$\alpha = \angle ECF, \ \beta = \angle BEC, \ \Delta = CE/2.$$

Поскольку диаметр шестиугольника равен 1, имеем  $\Delta < 1/2$ .

Координаты вершин таковы:

$$A(\Delta, \sqrt{1-\Delta^2}), \quad B(2\Delta-\cos\beta, \sin\beta), \quad C(0,0), \quad E(2\Delta,0), \quad F(\cos\alpha, \sin\alpha).$$

Значения  $\alpha$  и  $\beta$  связаны требованием  $\overrightarrow{BF}^2=1$ . После элементарных преобразований этой связи можно придать вид

$$\cos(\alpha + \beta) = 2\Delta(\cos\alpha + \cos\beta) - \frac{1 + 4\Delta^2}{2}.$$
 (6)

**3.3.** Замечание. 1. Если пятиугольник ABCEF правильный, то  $\Delta \simeq 0.309017$ . Добавление CDE дает площадь шестиугольника  $\simeq 0.672288$ . При любом  $\Delta \leq 0.309$  площадь шестиугольника ABCDEF будет меньше.

Действительно, по теореме 1.8 отклонение от правильности пятиугольника уменьшит его площадь, а площадь треугольника CDE тоже уменьшится, так как уменьшатся и его основание  $CE=2\Delta$ , и его высота. Поэтому далее считаем

$$\Delta \geq 0.309$$
.

**3.4.** Предварительные сведения о введенном шарнирном механизме. Не нарушая общности, считаем  $\alpha \geq \beta$ . При  $\alpha = \beta$  диагональ BF занимает положение  $B_0F_0 \parallel EC$ , выделенное пунктиром на рис. 8. В этом положении

 $\cos \alpha = \cos \beta = \Delta + 1/2$ . Угол  $\alpha$  может возрастать до значения  $\alpha = \angle ECA$ , при котором  $\cos \alpha = \Delta$ .

1. Углы  $\alpha$  и  $\beta$  острые. Мы утверждаем, что при всех положениях угол  $\alpha+\beta$  тоже острый.

Достаточно показать, что  $\cos(\alpha+\beta)>0$ . Для этого выделим промежуточное значение  $\alpha$ , при котором  $\cos\alpha=2\Delta$ . В таком положении ребро EF параллельно оси y, поэтому  $\sin\beta=\frac{1}{2}\sin\alpha=\frac{1}{2}\sqrt{1+4\Delta^2},$  откуда  $\cos\beta=\sqrt{\frac{3}{4}-\Delta^2}.$ 

На участке от  $\cos \alpha = \Delta + 1/2$  до  $\cos \alpha = 2\Delta$  значение  $\cos \beta$  возрастает от  $\Delta + 1/2$ . Тем самым

$$\cos(\alpha + \beta) = 2\Delta(\cos\alpha + \cos\beta) - \frac{1 + 4\Delta^2}{2}$$
$$> 2\Delta\left(2\Delta + \Delta + \frac{1}{2}\right) - \frac{1 + 4\Delta^2}{2} = 4\Delta^2 + \Delta - \frac{1}{2} > 0.$$

На участке от  $\cos\alpha=2\Delta$  до  $\cos\alpha=\Delta$  значение  $\cos\beta$  возрастает от  $\sqrt{\frac{3}{4}-\Delta^2},$  тем самым

$$\cos(\alpha+\beta)>2\Delta\bigg(\Delta+\sqrt{\frac{3}{4}-\Delta^2}\bigg)-\frac{1+4\Delta^2}{2}=2\Delta\sqrt{\frac{3}{4}-\Delta^2}-\frac{1}{2}>0.\quad \Box$$

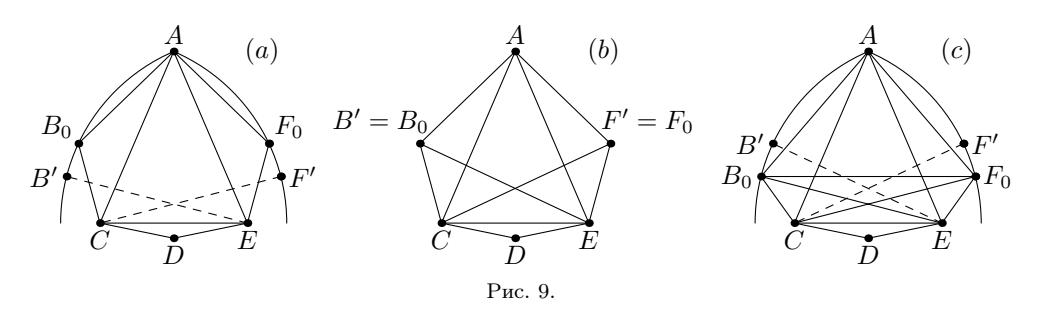
2. Дифференцируя по  $\alpha$  равенство (6), находим

$$rac{deta}{dlpha} = -rac{\sin(lpha+eta)-2\Delta\sinlpha}{\sin(lpha+eta)-2\Delta\sineta}.$$

Учитывая, что  $\beta \leq \alpha < \alpha + \beta < \pi/2$ , заключаем, что при  $\alpha > \beta$  скорость возрастания угла  $\alpha$  превосходит скорость убывания  $\beta$ , так что в условиях рис. 8 всегда

$$\angle B_0 EB < \angle F_0 CF.$$
 (7)

3. При движении шарнирного механизма вершина F движется по дуге радиуса 1 с центром в точке C. Проведем из C луч, ортогональный AE, до его встречи с этой дугой в некоторой точке F'. Аналогично вершина B движется по дуге радиуса 1 с ценром E. Проведем из E луч, ортогональный AC, до встречи с этой дугой в точке B'.



В зависимости от выбранного значения  $\Delta$  отрезок  $B_0F_0$  может располагаться выше, чем B'F', может совпадать с B'F', может лежать ниже, чем B'F' (рис. 9).

Совпадение  $B_0F_0\equiv B'F'$  имеет место при  $\Delta_m\simeq 0.411438$ . Требование  $\alpha+\angle AEC=90^\circ$  выражается уравнением

$$\arccos(\Delta_m + 1/2) + \arccos(\Delta_m) = 90^{\circ},$$

из которого получено приведенное значение  $\Delta_m$ . В этом положении  $\alpha = \beta \simeq 24^{\circ}.29516$ , а площадь шестиугольника ABCDEF приближенно равна 0.66, что меньше, чем при правильности пятиугольника ABCEF (см. разд. 3.3).

Точки B' и F' при фиксированном  $\Delta$  (см. рис. 9(a)) наиболее удалены соответственно от оснований AC и AE. Если в условиях рис. 9(a) точку F равномерно двигать по дуге F'A от F' к A, то скорость убывания высоты F над AE возрастает по мере приближения к A.

**3.5.** Лемма о симметричности. У искомого максимального шестиугольника обязательно  $\alpha = \beta$  и значение  $\Delta$  лежит в следующих пределах:

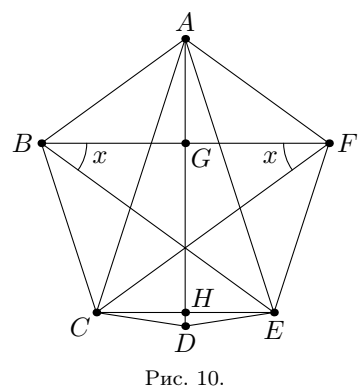
$$0.309 < \Delta < \Delta_m \simeq 0.411438.$$
 (8)

Доказательство. 1. При фиксированном  $\Delta$  шестиугольник ABCDEF слагается из неизменного четырехугольника ACDE и двух треугольников ABC и AFE. Их площади зависят только от высот точек B и F над единичными основаниями AC и AE этих треугольников.

2. Пусть фиксированное  $\Delta$  удовлетворяет (8). Тогда мы находимся в условиях рис. 9(a). Пусть угол  $\alpha$  возрос от позиции  $\alpha=\beta$  и точка  $\beta$  еще не достигла положения B'. При этом точка  $F_0$  перешла в положение F, пройдя дугу  $F_0F>B_0B$  (см. (7)). Но согласно п. 3 из разд. 3.4 скорость возрастания высоты B над AC была меньше скорости убывания высоты F над AE, т. е. сумма высот треугольников убывала.

Если же точка B перейдет за точку  $B^{\prime},$  то далее будут убывать высоты обоих треугольников.

- 3. Пусть  $\Delta > \Delta_m$ . Тогда мы находимся в условиях рис. 9(c). Площадь такого шестиугольника возрастет, если (независимо от шарниров) переместить вершины B и F в положения B' и F' и одновременно увеличить длину  $\Delta$  до 1. В таком положении у шестиугольника будет площадь  $\simeq 0.633946$ .
- **3.6.** Кстати, это будет не рассмотренный в начале  $\S 3$  случай m=3, так что нам не надо к нему возвращаться.



**3.7.** Осталось среди симметричных шестиугольников (рис. 10), где  $x=\alpha=\beta,$  выбрать наибольший по площади.

Для углов (вместо  $\Delta$ ) границы (8) принимают вид

$$24^{\circ}.295 < x < 36^{\circ}.$$

Найдем площадь f(x) такого шестиугольника. Имеем CF = FB = BE = AB = 1,  $CE = 2\cos x - 1$ . Высота трапеции BCEF равна  $\sin x$ . Площадь этой трапеции равна  $(\sin 2x)/2$ ,

Puc. 10. 
$$AH = \sqrt{1 - (CH)^2} = \sqrt{\frac{3}{4} + \cos x - \cos^2 x}, \quad DH = 1 - AH,$$

откуда площадь треугольника CDE равна

$$\left(\cos x - \frac{1}{2}\right) \left(1 - \sqrt{\frac{3}{4} + \cos x - \cos^2 x}\right).$$

Площадь треугольника ABF равна

$$\frac{1}{2}(AH - \sin x) = \frac{1}{2}\sqrt{\frac{3}{4} + \cos x - \cos^2 x} - \frac{\sin x}{2}.$$

Вся площадь шестиугольника равна

$$f(x) = \frac{\sin(2x)}{2} - \frac{\sin x}{2} + \cos x - \frac{1}{2} + (1 - \cos x)\sqrt{\frac{3}{4} + \cos x - \cos^2 x}.$$

Производная равна

$$\frac{df}{dx} = \cos(2x) - \frac{\cos x}{2} - \sin x + \sin x \sqrt{\frac{3}{4} + \cos x - \cos^2 x} + \frac{(1 - \cos x)(\sin(2x) - \sin x)}{2\sqrt{\frac{3}{4} + \cos x - \cos^2 x}}.$$

Компьютерная программа «График» наглядно показала убывающий характер функции f'(x). Для уточнения мы повторили с помощью той же программы расчеты в более узких пределах. Результат одного из расчетов приведен на рис. 11.

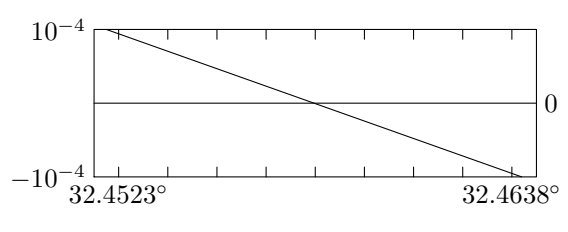


Рис. 11.

Приближенное значение корня уравнения f'(x) = 0, полученное с достаточной для наших целей точностью и проверенное подстановкой, таково:  $x_0 \simeq 32.459455^{\circ}$ . Ему соответствует приближенное значение максимальной площади  $f(x_0) \simeq 0.674975435$ . Форма такого шестиугольника весьма близка к рис. 9(a).

- **3.8.** Замечания. 1. Можно было начать с рис. 8, где нужно заменить обозначение одного из углов x на y и, не предполагая симметрии, выразить площадь как функцию двух переменных. Поиск ее максимума дает тот же результат. Но мы хотели сначала обосновать симметрию.
- 2. Случай n=6 поучителен тем, что у соответствующего результату шестиугольника Рело дуги AF и FE не равные. Это исключает ожидание получить общее решение для всех четных  $n\geq 6$  на пути, аналогичном доказательству теоремы 1.8.
- 3. Вероятно, при четных n>6 максимальный n-угольник тоже имеет только одну вершину второго рода и симметричен относительно прямой, соединяющей эту вершину с противоположной ей. Автор не умеет это доказывать.

Но даже если это будет доказано, поиск максимального n-угольника при больших n потребует вычислений с большим числом переменных.

## ЛИТЕРАТУРА

- **1.** *Бляшке В.* Круг и шар. М.: Наука, 1967.
- 2. Боннезен Т., Фенхель В. Теория выпуклых тел. М.: Фазис, 2002.
- 3. Schilling F. Die Theorie and Konstruktion der Kurven konstanter Breite // Z. Math. Phys. 1914. Bd 63. S. 67–136.

- 4. Blaschke W. Konvexe Bereich gegebener konstanter Breite und kleinsten Inhalts // Math. Ann. 1915. Bd 76. S. 504–513.
- 5. Kupitz Ya. S., Martini H. On the isoperimetric inequalities for Reuleaux polygons // J. Geometry. 2000. V. 68, N 2. P. 179–191.
- **6.** Yau S. T. Problem section // Seminar of Differential Geometry. Princeton NJ: Princeton Univ. Press, 1982. (Ann. Math. Stud.; V. 102). P. 684.
- 7. Залгаллер В. А. Одна изопериметрическая задача для тетраэдра // Зап. науч. семинаров ПОМИ. 2005. Т. 329. С. 28–55.

Статья поступила 1 февраля 2009 г.

Залгаллер Виктор Абрамович The Weizmann Institute of Science Rehovot, 76100, Israel Viktor.Zalgaller@gmail.com